

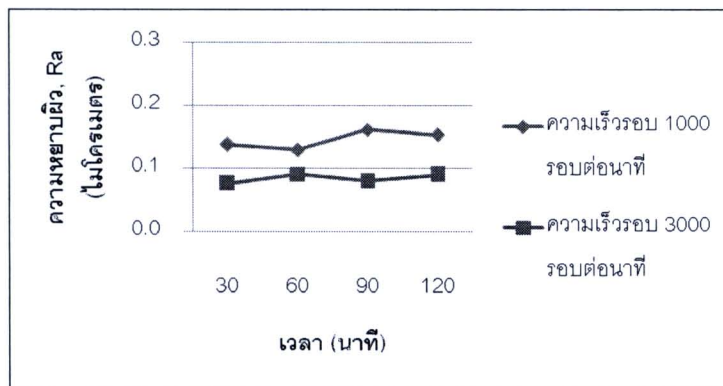
บทที่ 3

การตัดแบบเปียก

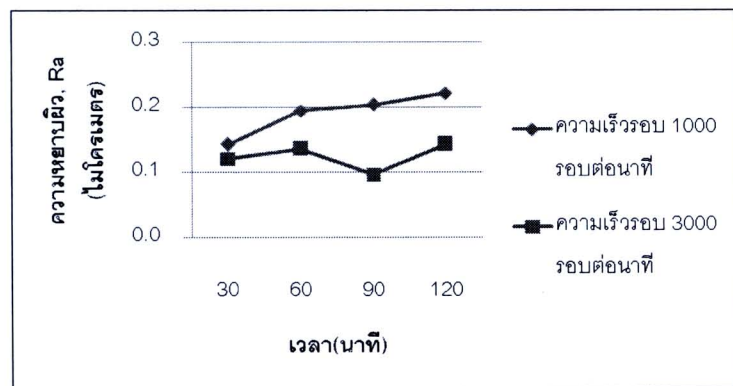
3.1 ความสัมพันธ์ระหว่างระยะเวลาในการตัดกับความเรียบของผิวชิ้นงานของการตัดแบบเปียก

3.1.1 อิทธิพลของความเร็วรอบต่อความหยาบผิว

จากรูปที่ 3.1 และ 3.2 เห็นได้ว่าความเร็วรอบในการตัดที่ต่ำจะให้ค่าความหยาบผิวสูงกว่าความเร็วรอบในการตัดสูง สามารถอธิบายได้จากการตัดที่ความเร็วรอบสูงทำให้เกิดความร้อนสูงบริเวณพื้นที่ตัดเฉือน จึงส่งผลให้ชิ้นงานนิ่มขึ้นทำให้การตัดง่ายขึ้น จึงให้ค่าความหยาบผิวต่ำกว่าการใช้ความเร็วรอบต่ำ และนอกจากนี้เมื่อระยะเวลาในการตัดที่ยาวนานขึ้น ค่าความหยาบผิวมีแนวโน้มที่จะเพิ่มขึ้น เนื่องจากผลของการเกิดเนื้อรัศดุ(เศษโลหะ)หลอมติดกับมีดตัด (Built-up edge: BUE) ซึ่ง BUE จะทำให้ความสามารถในการตัดเฉือนลดลงและทำให้ได้ผิวชิ้นงานไม่ดี เพราะเมื่อการตัดยาวนานขึ้นอัตราการเกิด BUE สะสมเพิ่มสูงขึ้นเรื่อยๆ จึงทำให้ความหยาบผิวชิ้นงานสูงขึ้นตามไปด้วย



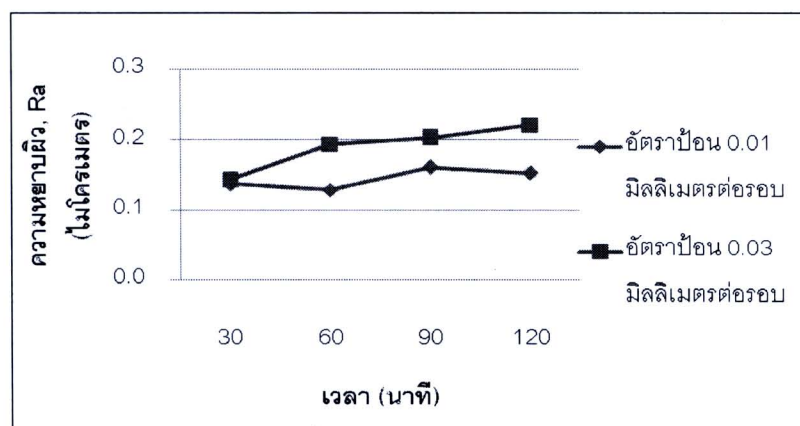
รูปที่ 3.1 เปรียบเทียบความหยาบผิวของการตัดแบบเปียกที่ความลึกตัด 1 มิลลิเมตร อัตราป้อน 0.01 มิลลิเมตรต่อรอบที่ความเร็วรอบต่าง ๆ



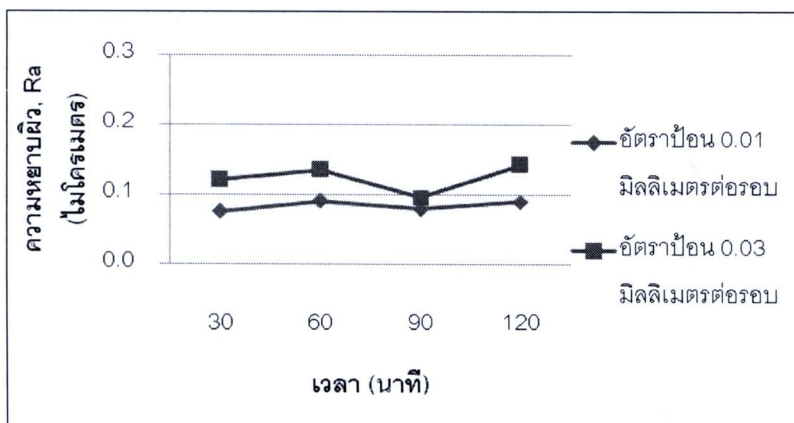
รูปที่ 3.2 เปรียบเทียบความหยาบผิวของการตัดแบบเปียกที่ความลึกตัด 1 มิลลิเมตร อัตราปั่น 0.03 มิลลิเมตรต่อรอบที่ความเร็วรอบต่าง ๆ

3.1.2 อิทธิพลของอัตราปั่นต่อความหยาบผิว

จากรูปที่ 3.3 และ 3.4 สามารถเปรียบเทียบได้ว่าที่อัตราการปั่นตัดที่สูง ทำให้ค่าความหยาบผิวสูง อธิบายได้จากอัตราปั่นที่มากกว่า หมายถึง การกัดด้วยอัตราการกินเนื้อโลหะที่มากกว่าต่อรอบซึ่งตัดยากกว่า ผลให้เกิดความหยาบที่สูงกว่า ซึ่งเป็นไปตามทฤษฎีของค่าความหยาบผิวของชิ้นงาน สามารถอธิบายได้ว่า (พิจารณาจะสมการที่ 2.10) เมื่ออัตราการปั่นตัดสูงขึ้นค่าความหยาบผิวที่ได้จะสูงขึ้นตาม และอีกเหตุผลหนึ่งคือการตัดด้วยอัตราปั่นตัดที่สูง จะต้องใช้แรงในการตัดที่สูงกว่า มีผลต่อการเกิดการสั่นของมีดตัดซึ่งส่งผลให้ความหยาบผิวสูงกว่าการกัดที่อัตราปั่นต่ำ



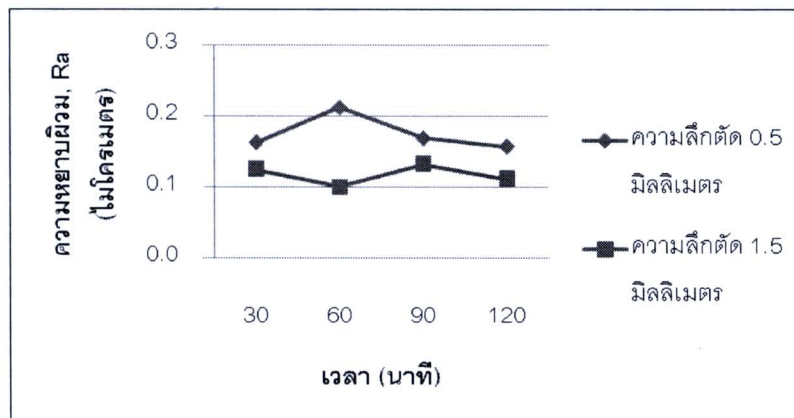
รูปที่ 3.3 เปรียบเทียบความหยาบผิวของการตัดแบบเปียกที่ความลึกตัด 1 มิลลิเมตร ความเร็วรอบ 1,000 รอบต่อนาทีที่อัตราปั่นต่าง ๆ



รูปที่ 3.4 เปรียบเทียบความหยาบผิวของการตัดแบบเปียกที่ความลึกตัด 1 มิลลิเมตร ความเร็วรอบ 3,000 รอบต่อนาทีที่อัตราป่อนต่าง ๆ

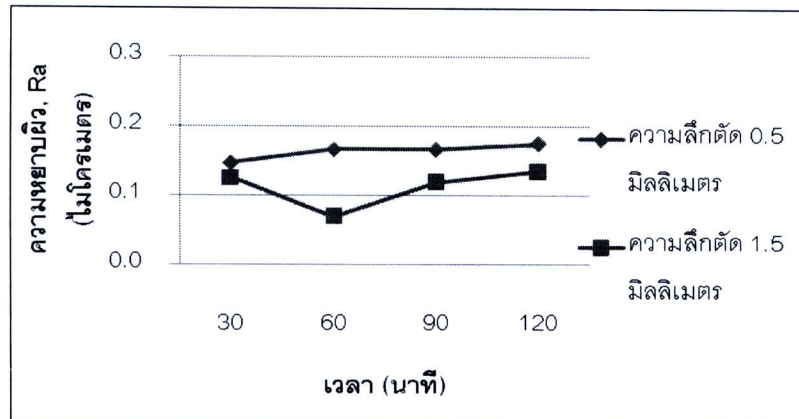
3.1.3 อิทธิพลของความลึกตัดต่อความหยาบผิว

จากรูปที่ 3.5 และ 3.6 แสดงให้เห็นว่าการตัดด้วยความลึกตัดที่มากกว่า ส่งผลให้เกิดความหยาบผิวที่ต่ำกว่า สามารถอธิบายได้จากการที่มีตัดกินเนื้อผิวที่ลึกกว่าทำให้เกิดความร้อนสะสมที่สูงกว่าที่ความลึกตัดต่ำ เนื่องจากที่ความลึกตัดสูงมีพื้นที่สัมผัสระหว่างมีตัดกับชิ้นงานสูง จึงทำให้เกิดความร้อนสูง จึงทำให้เนื้อวัสดุอ่อนตัว ส่งผลให้การตัดเนื่อง่ายและทำให้ได้ค่าความเรียบผิวที่ต่ำ



รูปที่ 3.5 เปรียบเทียบความหยาบผิวของการตัดแบบเปียกที่ความเร็วรอบ 3,000 รอบต่อนาที อัตราป่อน 0.02 มิลลิเมตรต่อรอบที่ความลึกตัดต่าง ๆ





รูปที่ 3.6 เปรียบเทียบความหยาบผิวของการตัดแบบเปียกที่ความเร็วรอบ 2,000 รอบต่อนาที อัตราป้อน 0.03 มิลลิเมตรต่อรอบที่ความลึกตัดต่าง ๆ

เมื่อเปรียบเทียบที่ความเร็วรอบที่ต่างกัน คือ ที่ 2,000 และ 3,000 รอบต่อนาที จะพบว่าความเร็วรอบสูงค่าความหยาบผิวมีแนวโน้มลดลงเมื่อระยะเวลาในการตัดนานขึ้น สามารถอธิบายได้ว่า ที่ความเร็วรอบสูงอัตราการสึกหรอจะสูงขึ้นด้วย จึงทำให้ขอบคมตัด (cutting edge) เกิดการสึกหรอส่งผลให้เกิดพื้นที่การตัดเนื่องที่สูงขึ้น และในขณะเดียวกันขอบคมตัดก็มีความมั่นคงเนื่องจากการสึกหรอเปรียบเสมือนเป็นการเพิ่มรัศมีของขอบคมตัดจึงทำให้ผิวชิ้นงานออกมาดีหรือค่าความหยาบผิวลดลง แต่อย่างไรก็ตาม ปรากฏการณ์ดังกล่าวจะเกิดเพียงช่วงระยะเวลาหนึ่งเท่านั้น เมื่อระยะเวลาในการตัดที่ยาวนานขึ้นก็จะมีผลของการเกิด BUE เกิดขึ้นตามมา ทำให้ BUE มีอิทธิพลมากกว่าการสึกหรอของมีดกัดที่เกิดขึ้น (ซึ่งการสึกหรอเกิดขึ้นค่อนข้างจะน้อยมากในการตัดวัสดุอ่อน เช่น อะลูมิเนียม เป็นต้น) ทำให้ความหยาบผิวของชิ้นงานสูงขึ้น

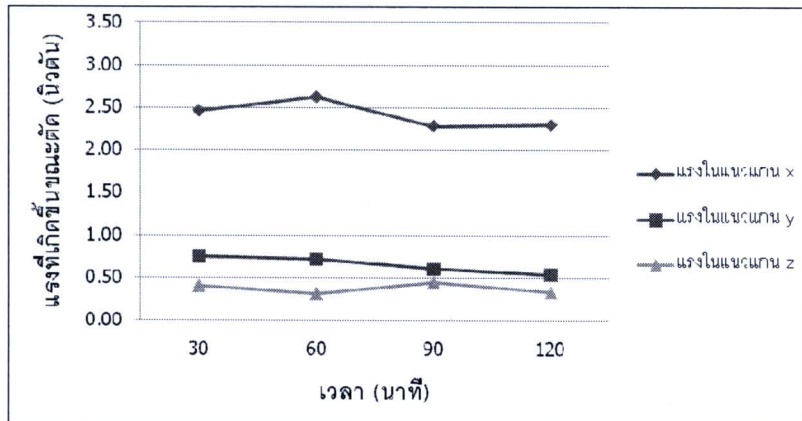
3.2 ความสัมพันธ์ระหว่างระยะเวลาในการตัดกับแรงตัดที่เกิดขึ้นขณะตัดในแกนต่าง ๆ ของการตัดแบบเปียก

จากรูปที่ 3.7 ถึง 3.12 จะพบว่าแรงที่เกิดขึ้นในเวลาต่าง ๆ มีค่าไม่ต่างกันมากโดยแรงในแนวแกน x เกิดขึ้นมากที่สุด รองลงมาคือแรงในแนวแกน y ซึ่งจะมีค่าไม่ต่างจากแรงในแนวแกน z มากนัก ดังนั้นในการทดลองจึงนำแรงในแนวแกน x มาพิจารณาแรงเดียว

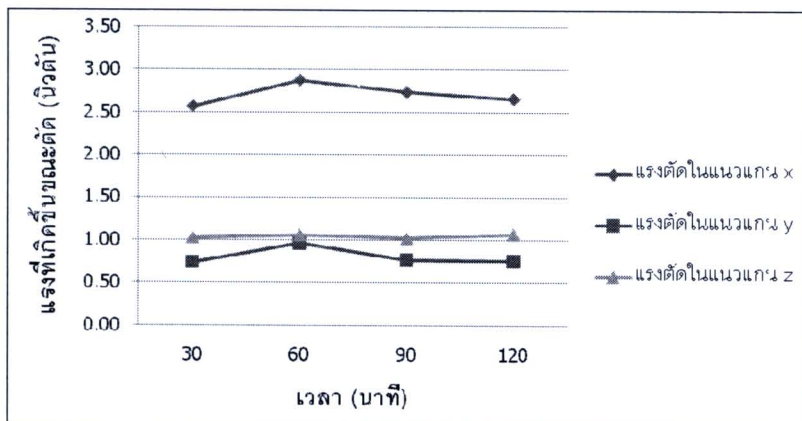
3.2.1 อิทธิพลของความเร็วรอบต่อแรงตัดในสามแกน

จากรูปที่ 3.7 และ 3.8 จะเห็นว่าความเร็วรอบสูงแรงตัดที่เกิดขึ้นจะสูงกว่าที่ความเร็วรอบต่ำ ซึ่งสามารถอธิบายได้ว่า ที่ความเร็วรอบสูงเกิดความร้อนสูงทำให้เนื้อวัสดุอ่อนตัวแรงตัดที่เกิดขึ้นจะต่ำ แต่เนื่องจากที่ความร้อนสูงจะทำให้เศษโลหะหลอมติดกับมีดตัดสูงด้วย

ซึ่งความสึกหรอส่งผลมากกว่าการอ่อนตัวของเนื้อวัสดุทำให้เกิดแรงตัดสูงขึ้น และขณะเดียวกันที่ความเร็วรอบสูงจะทำให้เนื้อวัสดุหลอมติดกับคมตัดทำให้การตัดเฉือนไม่เสถียร ส่งผลให้แรงตัดสูงขึ้น โดยแรงที่เกิดขึ้นมากที่สุดคือแรงในแนวแกน x และที่รองลงมาและมีค่าใกล้เคียงกันคือ แรงในแนวแกน y และ z ตามลำดับ



รูปที่ 3.7 เปรียบเทียบแรงที่เกิดขึ้นในสามแกนสำหรับความเร็วรอบ 1,000 รอบต่อนาที อัตราป้อน 0.01 มิลลิเมตรต่อรอบ และ ความลึกตัด 1.0 มิลลิเมตร ของการตัดแบบเปียก

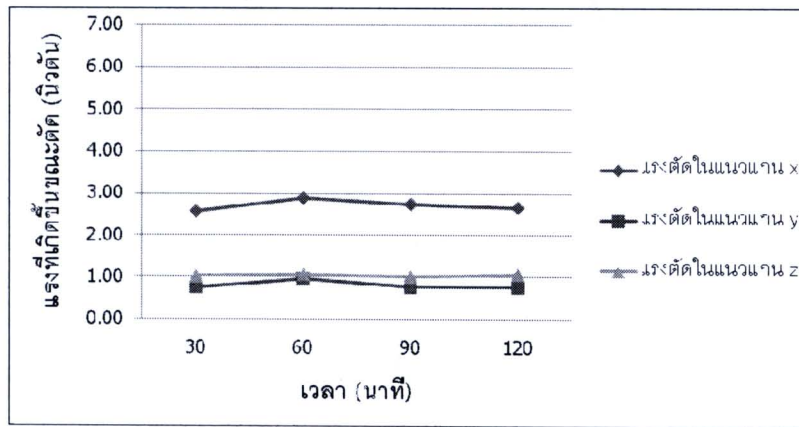


รูปที่ 3.8 เปรียบเทียบแรงที่เกิดขึ้นในสามแกนสำหรับความเร็วรอบ 3,000 รอบต่อนาที อัตราป้อน 0.01 มิลลิเมตรต่อรอบ และ ความลึกตัด 1.0 มิลลิเมตร ของการตัดแบบเปียก

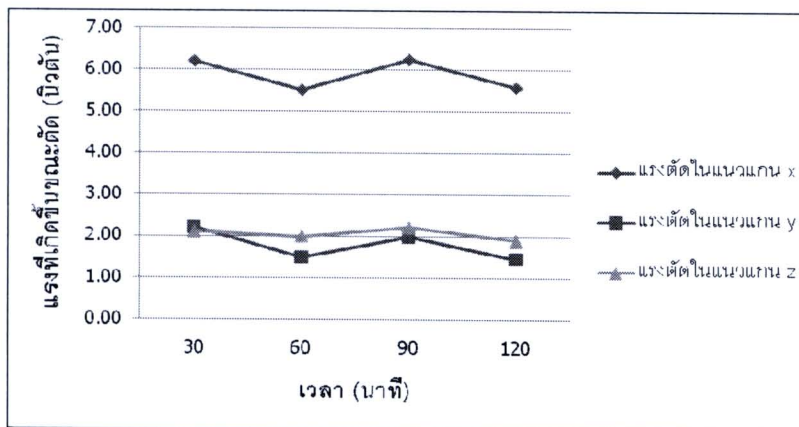
3.2.2 อิทธิพลของอัตราป้อนต่อแรงตัดในสามแกน

รูปที่ 3.9 และ 3.10 แสดงแรงตัดที่เกิดขึ้นในขณะที่ทำการตัดเฉือนชิ้นงาน จากรูปจะพบว่าแรงตัดในแนวแกน x มีค่าสูงสุด และแรงตัดในแนวแกน y และ z มีค่าที่ค่อนข้างจะใกล้เคียงกัน เมื่อเปรียบแรงตัดที่เกิดขึ้นที่อัตราการป้อนตัดที่ต่างกัน คือที่อัตราป้อนตัด 0.01 และ 0.03 มิลลิเมตรต่อรอบ ที่อัตราการป้อนตัดที่สูงกว่าจะเกิดแรงในขณะตัดสูงกว่าที่อัตราการป้อนตัด

ต่ำ สามารถอธิบายได้ว่า ที่อัตราการป้อนตัดสูงจะมีพื้นที่ในการตัดเฉือนสูง (พื้นที่สัมผัสระหว่าง มีดตัดกับเนื้อชิ้นงาน) เนื่องจากระยะในการเคลื่อนที่เข้าตัดชิ้นงานสูงขึ้นเมื่ออัตราการป้อนตัด เพิ่มขึ้น จึงทำให้เกิดแรงในการตัดสูงตามไปด้วย



รูปที่ 3.9 เปรียบเทียบแรงที่เกิดขึ้นในสามแกนสำหรับความเร็วรอบ 3,000 รอบต่อนาที อัตราป้อน 0.01 มิลลิเมตรต่อรอบ และ ความลึกตัด 1.0 มิลลิเมตร ของการตัดแบบเปียก

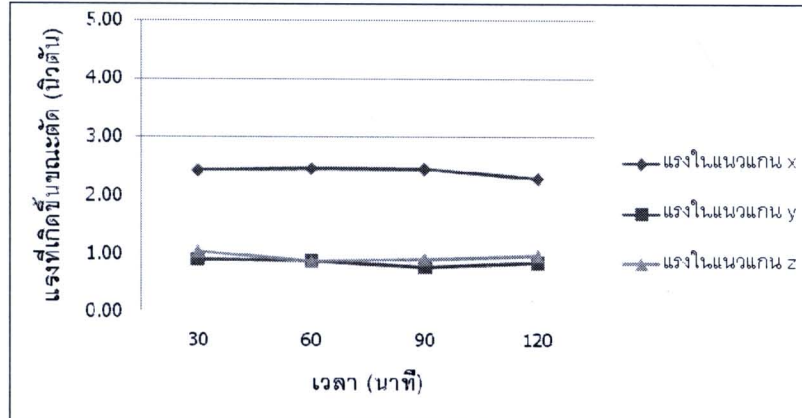


รูปที่ 3.10 เปรียบเทียบแรงที่เกิดขึ้นในสามแกนสำหรับความเร็วรอบ 3,000 รอบต่อนาที อัตราป้อน 0.03 มิลลิเมตรต่อรอบ และ ความลึกตัด 1.0 มิลลิเมตร ของการตัดแบบเปียก

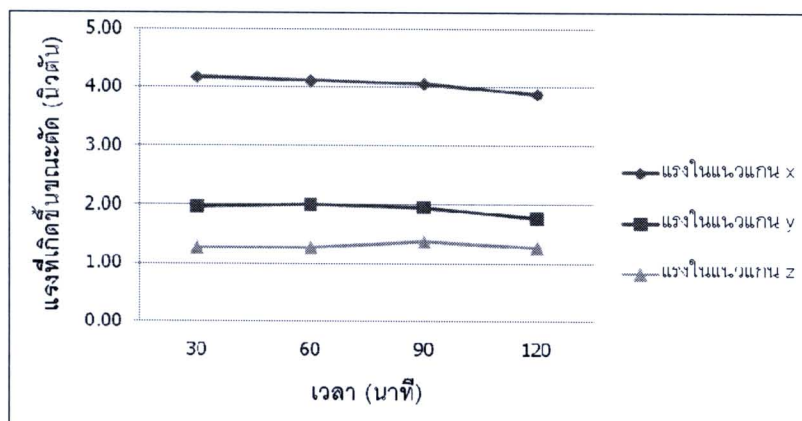
3.2.3 อิทธิพลของความลึกตัดต่อแรงตัดในสามแกน

รูปที่ 3.11 และ 3.12 แสดงแรงตัดที่เกิดขึ้นในขณะที่ตัดเฉือนชิ้นงานที่ความลึกแตกต่างกันคือ ที่ความลึกตัด 0.5 และ 1.5 มิลลิเมตร จะกลุ่มว่าแรงตัดในแนวแกน x มีค่าสูงสุด และแรงตัดในแนวแกน y และ z มีค่าที่ค่อนข้างจะใกล้เคียงกัน เช่นเดียวกับอิทธิพลของ อัตราการป้อนตัด ที่ความลึกตัดที่สูงกว่าจะเกิดแรงในขณะตัดสูงกว่าที่ความลึกตัดต่ำ ซึ่งเหตุผล

สามารถอธิบายได้ เช่นเดียวกับอัตราการป้อนตัด นั่นคือ ที่ความลึกตัดสูงจะมีพื้นที่ในการตัดเฉือน สูง (พื้นที่สัมผัสระหว่างมีดตัดกับเนื้อชิ้นงาน) จึงทำให้เกิดแรงในการตัดสูงตามไปด้วย



รูปที่ 3.11 เปรียบเทียบแรงที่เกิดขึ้นในสามแกนสำหรับความเร็วรอบ 1,000 รอบต่อนาที อัตราป้อน 0.02 มิลลิเมตรต่อรอบ และ ความลึกตัด 0.5 มิลลิเมตร ของการตัดแบบเบี้ยก



รูปที่ 3.12 เปรียบเทียบแรงที่เกิดขึ้นในสามแกนสำหรับความเร็วรอบ 1,000 รอบต่อนาที อัตราป้อน 0.02 มิลลิเมตรต่อรอบ และ ความลึกตัด 1.5 มิลลิเมตร ของการตัดแบบเบี้ยก

3.3 การวิเคราะห์ความแปรปรวนและพื้นผิวผลตอบของแรงในการตัดของการตัดแบบเบี้ยก

เนื่องจากการทดลองนี้ เป็นการทดลองที่มีตัวแปร 3 ระดับและปัจจัยเป็นปัจจัยเชิงปริมาณ ดังนั้นจึงใช้การทดลองแบบบอคซ์-เบนนิคен ได้จำนวนเงื่อนไขการทดลองต่าง ๆ ดังตารางที่ 3.1

ตารางที่ 3.1 การออกแบบการทดลองแบบบอช์-เบห์นเคนของความ helyab ผิวและแรงในการตัดแบบเบี่ยง

เงื่อนไขการทดลอง	Input Value			Responses		
	S (rpm)	F (mm/rev)	D (mm)	Fx (N)	Fy (N)	Fz (N)
1	1000	0.01	1	2.30	0.53	0.85
2	3000	0.01	1	2.34	1.18	1.42
3	1000	0.03	1	4.21	1.55	1.28
4	3000	0.03	1	6.49	2.19	1.71
5	1000	0.02	0.5	1.91	0.32	0.55
6	3000	0.02	0.5	2.50	0.57	1.17
7	1000	0.02	1.5	4.20	1.34	1.42
8	3000	0.02	1.5	5.86	2.16	2.16
9	2000	0.01	0.5	2.15	0.11	0.62
10	2000	0.03	0.5	4.58	1.48	3.72
11	2000	0.01	1.5	3.08	0.61	0.75
12	2000	0.03	1.5	8.59	3.02	2.85
13	2000	0.02	1	4.19	1.38	1.54
14	2000	0.02	1	4.31	1.50	1.45
15	2000	0.02	1	4.41	1.26	1.64

หมายเหตุ	
S คือ ความเร็วรอบ (รอบต่อนาที)	Fx คือ แรงในแนวแกน x (นิวตัน)
F คือ อัตราป้อน (มิลลิเมตรต่อรอบ)	Fy คือ แรงในแนวแกน y (นิวตัน)
D คือ ความลึกตัด (มิลลิเมตร)	Fz คือ แรงในแนวแกน z (นิวตัน)

จากข้อมูลแรงตัดที่แนวแกนต่างๆ (Fx, Fy และ Fz) ในตารางที่ 3.1 เมื่อนำไปวิเคราะห์ความแปรปรวน (Analysis of variance) จะได้ผลดังตารางที่ 3.2

จากตารางที่ 3.2 พบร่วมกับสมการถดถอย (Regression model) ที่ค่าความเชื่อมั่น 95 % สามารถใช้ได้ กล่าวคือ มีค่า P-value น้อยกว่า 0.05 และค่า Lack of fit test ซึ่งเป็นค่าที่บ่งบอกถึงการขาดความเหมาะสมของสมการมีค่า P-value 0.068 ซึ่งมากกว่า 0.05 หมายถึงสมการมีความเหมาะสม

เมื่อพิจารณาต่อไปพบว่าตัวแปรที่มีค่า P-value น้อยกว่า 0.05 ซึ่งหมายความว่าเป็นตัวแปรที่สามารถใช้ได้ในสมการดูถูกอย ได้แก่ ค่าคงที่ ความเร็วตอบ (S) อัตราป้อนตัด (F) ความลึกตัด (D) ความเร็วตอบอันดับสอง (S^2) ความสัมพันธ์กันระหว่างความเร็วตอบและอัตราป้อนตัด (SF) และความสัมพันธ์กันระหว่างอัตราป้อนและความลึกตัด (FD) ซึ่งทุกพจน์มี P-value น้อยกว่า 0.05 ทั้งสิ้น และทำการทดสอบตัดพจน์ที่ไม่ผ่านความเชื่อมั่น (P-value น้อยกว่า 0.05) พบว่าได้ผลดังตารางที่ 3.4

ตารางที่ 3.2 ความแปรปรวนของแรงในแนวแกน x ก่อนการตัดพจน์ที่ไม่ผ่านความเชื่อมั่นของการตัดแบบเปี่ยก

Source	DF	Seq SS	Adj SS	Adj MS	F	P
Regression	9	47.3679	47.3679	5.2631	49.68	0.000
Linear	3	41.1291	41.1291	13.7097	129.41	0.000
Square	3	2.3265	2.3265	0.7755	7.32	0.028
Interaction	3	3.9122	3.9122	1.3041	12.31	0.010
Residual Error	5	0.5297	0.5297	0.1059		
Lack-of-Fit	3	0.5054	0.5054	0.1685	13.89	0.068
Pure Error	2	0.0243	0.0243	0.0121		
Total	14	47.8976				

ตารางที่ 3.3 สมการการถดถอยของพื้นผิวผลตอบก่อนการตัดพจน์ที่ไม่ผ่านความเชื่อมั่นของการกัดแบบเปียก

Term		Coef	SE Coef	T	P
Constant		4.30333	0.1879	22.900	0.000
S	rpm	0.57125	0.1151	4.964	0.004
F	mm/rev	1.75000	0.1151	15.207	0.000
D	Mm	1.32375	0.1151	11.503	0.000
S*S	rpm ²	-0.72542	0.1694	-4.283	0.008
F*F	mm ² /rev ²	0.25708	0.1694	1.518	0.190
D*D	mm ²	0.03958	0.1694	0.234	0.824
S*F	rpm*mm/rev	0.56000	0.1627	3.441	0.018
S*D	rpm*mm	0.26750	0.1627	1.644	0.161
F*D	mm ² /rev	0.77000	0.1627	4.731	0.005
$S = 0.3255 \quad R-Sq = 98.9\% \quad R-Sq(\text{adj}) = 96.9\%$					

ตารางที่ 3.4 ความแปรปรวนของเร่งในแนวแกน x หลังการตัดพจน์ที่ไม่ผ่านความเชื่อมั่นของการกัดแบบเปี้ยก

Source	DF	Seq SS	Adj SS	Adj MS	F	P
Regression	6	46.8362	46.8362	7.8060	58.84	0.000
Linear	3	41.1291	41.1291	13.7097	103.33	0.000
Square	1	2.0810	2.0810	2.0810	15.69	0.004
Interaction	2	3.6260	3.6260	1.8130	13.66	0.003
Residual Error	8	1.0614	1.0614	0.1327		
Lack-of-Fit	6	1.0371	1.0371	0.1729	14.25	0.067
Pure Error	2	0.0243	0.0243	0.0121		
Total	14	47.8976				

จากตารางที่ 3.5 พบร่วมกับสมการถดถอยที่ได้ยังคงมีค่า R-Square และค่า R-Square Adj. สูง และมีค่า P-Value น้อยกว่า 0.05 สำหรับทุกปัจจัย และค่า P-value ของค่าการขาดความเหมาะสมของสมการ (Lack of fit) มีค่า 0.067 ซึ่งมากกว่า 0.05 หมายความว่าสมการนี้เหมาะสม

ตารางที่ 3.5 สมการการถดถอยของพื้นผิวผลตอบหลังการตัดพจน์ที่ไม่ผ่านความเชื่อมั่นของการกัดแบบเปี้ยก

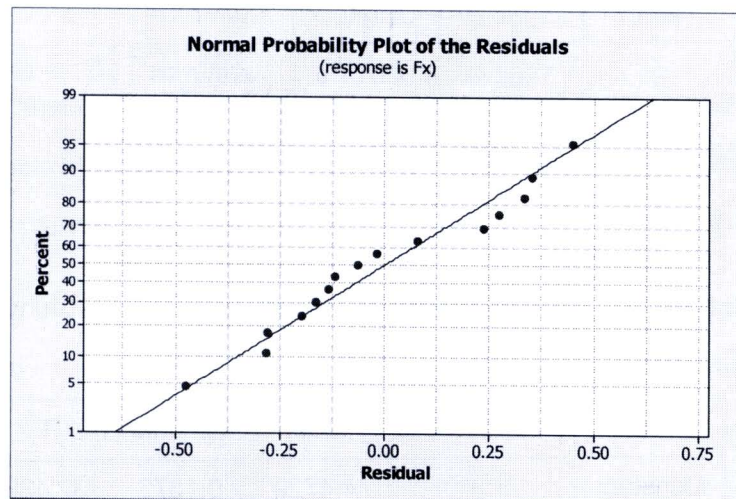
Term		Coef	SE Coef	T	P
Constant		4.4729	0.1377	32.489	0.000
S	Rpm	0.5713	0.1288	4.436	0.002
F	mm/rev	1.7500	0.1288	13.589	0.000
D	Mm	1.3237	0.1288	10.279	0.000
S*S	rpm ²	-0.7466	0.1885	-3.960	0.004
S*F	rpm*mm/rev	0.5600	0.1821	3.075	0.015
$S = 0.3642 \quad R-Sq = 97.8\% \quad R-Sq(adj) = 96.1\%$					

สมการความสัมพันธ์ระหว่าง แรงในแนวแกน x ต่อตัวแปรต้นต่าง ๆ คือ

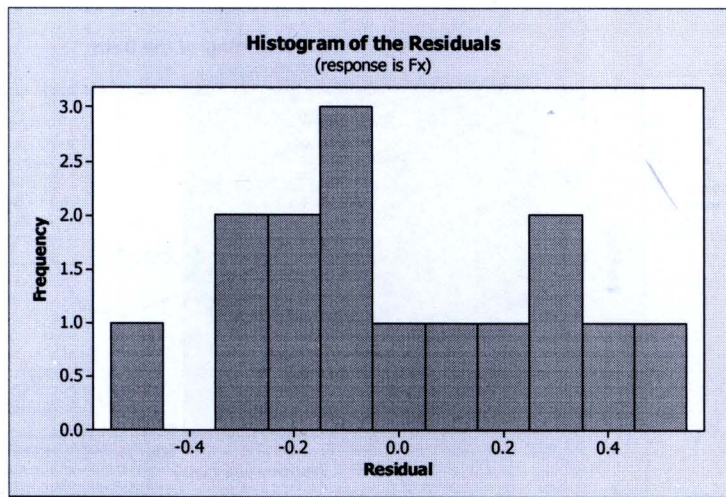
$$Fx = -0.483571 + 0.00243768S - 91.0000F - 0.432500D - 7.46607E-07SS + \\ 0.0560000SF + 154.000FD$$

จากสมการความสัมพันธ์สามารถอธิบายได้ว่า อัตราป้อนตัด (F) และผลคูณของอัตราป้อนตัดกับความลึกตัด (FD) มีอิทธิพลต่อแรงที่เกิดขึ้นในแนวแกน x มาก ในส่วนของความเร็วรอบ (S) ความลึกตัด (D) และผลคูณระหว่างความเร็วรอบกับอัตราป้อน (SF) มีอิทธิพลต่อแรงที่เกิดขึ้นในแนวแกน x น้อย ดังนั้นถ้าในการตัดมีอัตราป้อนตัดและความลึกตัดสูง จะส่งผลให้แรงในแนวแกน x มีค่ามาก

รูปที่ 3.13 เป็นการตรวจสอบสมมติฐานที่ว่าข้อมูลมีการกระจายเป็นปกติ ซึ่งสังเกตได้ว่า ข้อมูลมีค่าไกลส์เด็นต์ที่กำหนด แสดงให้เห็นถึงสมมติฐานมีความถูกต้อง ซึ่งเมื่อพิจารณารูปที่ 3.14 จะเห็นกลุ่มข้อมูลมีแนวโน้มที่จะกระจายเป็นรูปประจำคร่าว

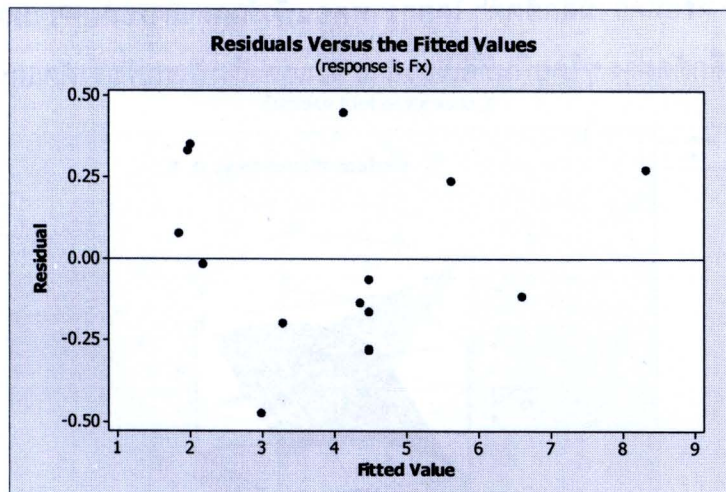


รูปที่ 3.13 ความน่าจะเป็นของค่าความผิดพลาดที่มีการกระจายแบบปกติ สำหรับแรงแนวแกน x (Fx) ของการตัดแบบเบี้ยก

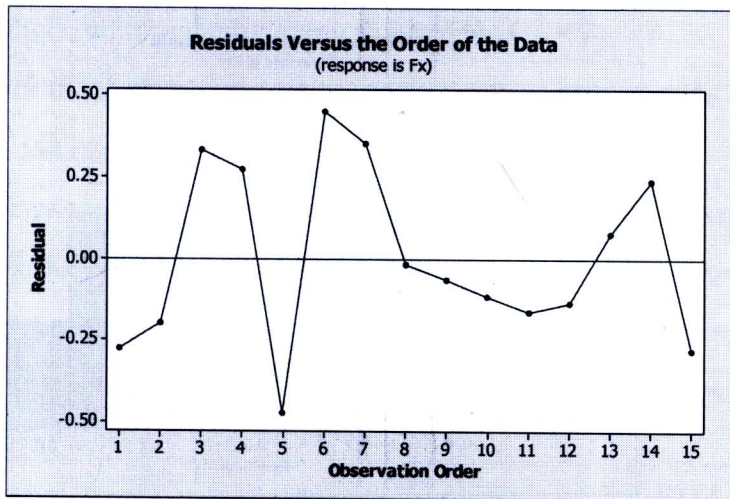


รูปที่ 3.14 ความน่าจะเป็นของค่าความผิดพลาดที่มีการกระจายแบบปกติ สำหรับแรงงานแกน x (Fx) ของการตัดแบบเปียก

รูปที่ 3.15 และ 3.16 แสดงความสัมพันธ์ระหว่างค่าความผิดพลาด (Residual) ซึ่งสังเกตได้ว่าค่าความผิดพลาดดังกล่าวควรมีการกระจายแบบสุ่ม หรือ ไม่มีรูปแบบ

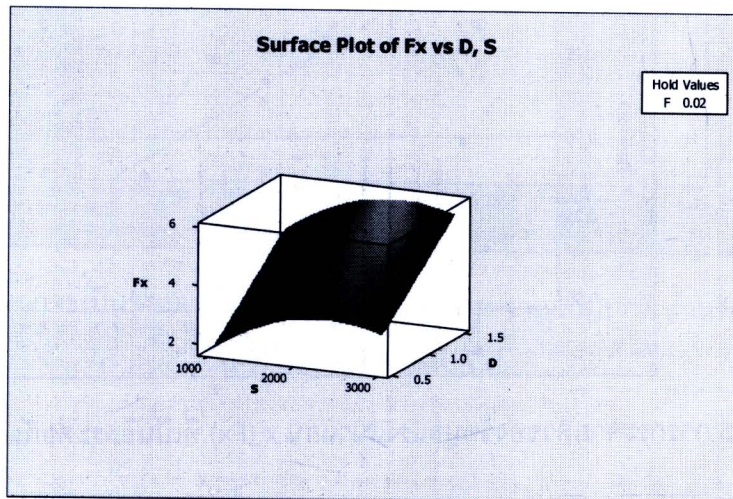


รูปที่ 3.15 การกระจายตัวของข้อมูลแรงงานแกน x (Fx) ที่เป็นอิสระต่อกัน ของการตัดแบบเปียก

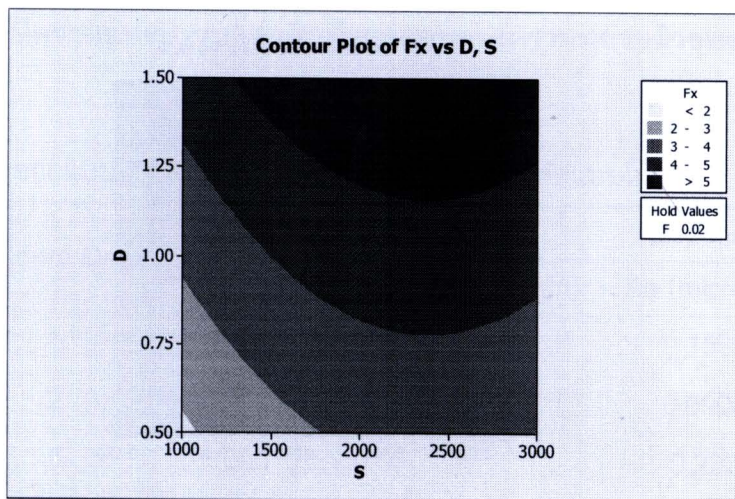


รูปที่ 3.16 ความสัมพันธ์ของค่าความผิดพลาดและลำดับของการทดลองของข้อมูลแรงโน้มถ่วงแกน x (F_x) ที่เป็นอิสระต่อกัน ของการตัดแบบเบี่ยง

รูปที่ 3.17 และ 3.18 บ่งบอกว่าเมื่อทำการกัดอลูมิเนียมแบบเบี่ยง แรงโน้มถ่วงแกน x จะมีค่าน้อยที่สุดที่ความเร็วรอบ 1000 รอบต่อนาที หรือความเร็วรอบต่ำ และความลึกตัด 0.5 มิลลิเมตร หรือที่ความลึกตัดต่ำ โดยกราฟค่อนทัวร์แสดงถึงระดับความหมายผิวที่ความเร็วรอบ และความลึกตัดต่าง ๆ โดยพื้นที่สีเขียวอ่อน จะแสดงถึงบริเวณที่แรงตัดแกน x (F_x) ต่ำที่สุด

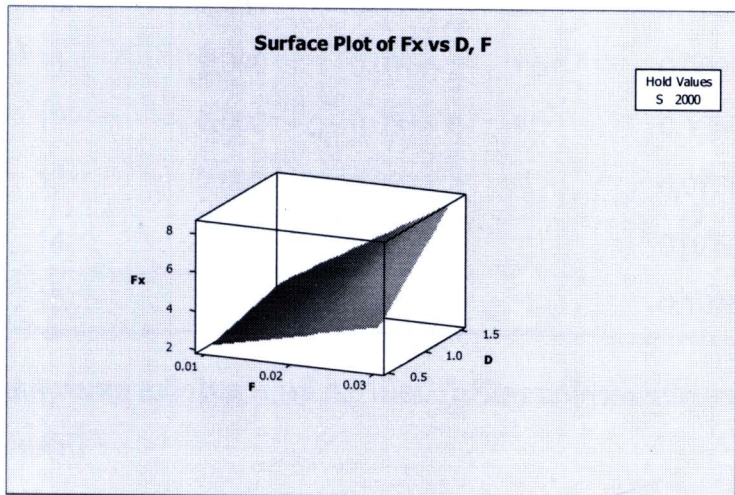


รูปที่ 3.17 ความสัมพันธ์ระหว่างแรงตัดแกน x (F_x) กับความเร็วรอบ (S) และความลึกตัด (D) ของการตัดแบบเบี่ยง

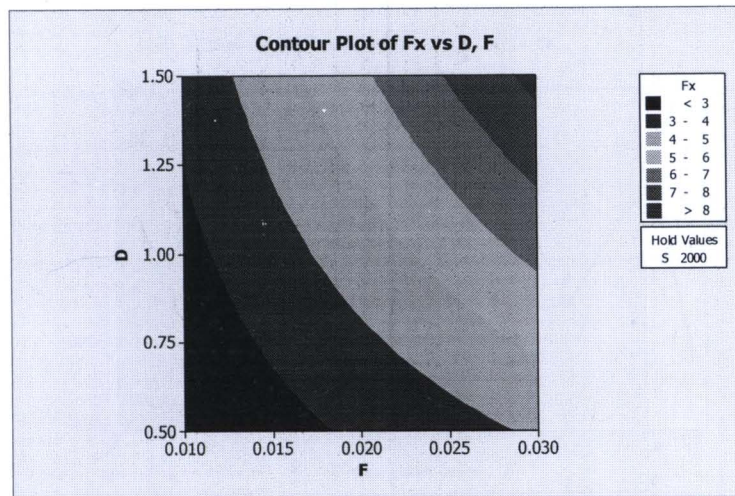


รูปที่ 3.18 กราฟคอนทัวร์แสดงระดับของแรงตัดแกน x (F_x) กับอัตราป้อน (F) และความลึกตัด (D) ของการตัดแบบเปียก

เมื่อพิจารณาแรงตัดแกน x (F_x) เทียบกับอัตราป้อน (F) และความลึกตัด (D) ดังรูปที่ 3.19 และ 3.20 พบร่วมกันในแนวแกน x (F_x) มีค่ามืออยู่ที่สุดเมื่อ ให้อัตราป้อนต่ำ และความลึกตัดต่ำ ซึ่งก็คือบริเวณสีน้ำเงินเข้มในกราฟคอนทัวร์



รูปที่ 3.19 ความสัมพันธ์ระหว่างแรงตัดแกน x (F_x) กับอัตราป้อน (F) และความลึกตัด (D) ของการตัดแบบเปียก



รูปที่ 3.20 กราฟคอนทัวร์แสดงระดับของแรงติดเก็น x (F_x) กับอัตราปั๊มน (F) และความลึกตื้ด (D)
ของการตัดแบบเบี้ยก

3.4 การวิเคราะห์ความแปรปรวนและพื้นผิวผลตอบของความหมายผิวของการตัดแบบเปียก

ตารางที่ 3.6 การออกแบบการทดลองต่อความหมายผิวของการตัดแบบเปียก

Standard Order	Input Value			Responses Ra (micro m)
	S (rpm)	F (mm/rev)	D (mm)	
1	1,000	0.01	1	0.1530
2	3,000	0.01	1	0.0900
3	1,000	0.03	1	0.222
4	3,000	0.03	1	0.1429
5	1,000	0.02	0.5	0.2400
6	3,000	0.02	0.5	0.1570
7	1,000	0.02	1.5	0.1480
8	3,000	0.02	1.5	0.1110
9	2,000	0.01	0.5	0.0990
10	2,000	0.03	0.5	0.1751
11	2,000	0.01	1.5	0.0890
12	2,000	0.03	1.5	0.1350
13	2,000	0.02	1	0.0736
14	2,000	0.02	1	0.0758
15	2,000	0.02	1	0.1070

จากข้อมูลความหมายผิวในตารางที่ 3.6 เมื่อนำไปวิเคราะห์ความแปรปรวน (Analysis of variance) จะได้ผลดังนี้

ตารางที่ 3.7 ความแปรปรวนของความหยาบผิวก่อนการตัดพจน์ที่ไม่ผ่านความเชื่อมั่นของการตัดแบบเปี้ยก

Source	DF	Seq	Adj SS	Adj MS	F	P
Regression	9	0.033585	0.033585	0.003732	10.82	0.009
Linear	3	0.020452	0.020452	0.006817	19.76	0.003
Square	3	0.012313	0.012313	0.004104	11.9	0.01
Interaction	3	0.00082	0.00082	0.000273	0.79	0.548
Residual Error	5	0.001725	0.001725	0.000345		
Lack-of-Fit	3	0.001027	0.001027	0.000342	0.98	0.541
Pure Error	2	0.000698	0.000698	0.000349		
Total	14	0.03531				

ตารางที่ 3.8 สมการการถดถอยของพื้นผิวผลตอบของความหยาบผิวก่อนการตัดพจน์ที่ไม่ผ่านความเชื่อมั่นของการตัดแบบเปี้ยก

Term		Coef	SE Coef	T	P
Constant		0.085467	0.010723	7.970	0.001
S	rpm	-0.032763	0.006567	-4.989	0.004
F	mm/rev	0.030500	0.006567	4.645	0.006
D	Mm	-0.023513	0.006567	-3.581	0.016
S*S	rpm ²	0.052992	0.009666	5.482	0.003
F*F	mm ² /rev ²	0.013517	0.009666	1.398	0.221
D*D	mm ²	0.025542	0.009666	2.642	0.046
S*F	rpm*mm/rev	-0.004025	0.009287	-0.433	0.683
S*D	rpm*mm	0.011500	0.009287	1.238	0.271
F*D	mm ² /rev	-0.007525	0.009287	-0.810	0.455
$S = 0.01857 \quad R-Sq = 95.1\% \quad R-Sq(adj) = 86.3\%$					

จากข้อมูลข้างต้นพบว่าสมการการถดถอยที่ค่าความเชื่อมั่น 95 % สามารถใช้ได้ คือมีค่า P-value น้อยกว่า 0.05 และค่าที่บ่งบอกถึงการขาดความเหมาะสมของสมการ (Lack of fit test) มีค่า P-value 0.54 ซึ่งมากกว่า 0.05 หมายถึงสมการมีความเหมาะสม และเมื่อพิจารณาต่อไป



พบว่าตัวแปรที่มีค่า P-value น้อยกว่า 0.05 ซึ่งหมายความว่าเป็นตัวแปรที่สามารถใช้ได้ในสมการทดถอย ได้แก่ ค่าคงที่ ความเร็วรอบ (S) อัตราป้อนตัด (F) ความลึกตัด (D) ความเร็วรอบอันดับสอง (S^2) และความลึกตัดอันดับสอง (D^2) ซึ่งทุกพจน์มี P-value น้อยกว่า 0.5 ทั้งสิ้น และตัวแปรต้นไม่มีความสัมพันธ์ระหว่างกัน ทำการทดสอบตัด พจน์อื่นที่ไม่ผ่านความเชื่อมั่น (P-value น้อยกว่า 0.05) พบว่าได้ผลดังต่อไปนี้

ตารางที่ 3.9 ความแปรปรวนของความหยาบผิวหลังการตัดพจน์ที่ไม่ผ่านความเชื่อมั่นของการตัดแบบเปียก

Source	DF	Seq SS	Adj SS	Adj MS	F	P
Regression	5	0.03209	0.03209	0.006418	17.94	0
Linear	3	0.020452	0.020452	0.006817	19.06	0
Square	2	0.011639	0.011639	0.005819	16.27	0.001
Residual Error	9	0.00322	0.00322	0.000358		
Lack-of-Fit	7	0.002522	0.002522	0.00036	1.03	0.575
Pure Error	2	0.000698	0.000698	0.000349		
Total	14	0.03531				

ตารางที่ 3.10 สมการการทดถอยของพื้นผิวผลตอบของความหยาบผิวหลังการตัดพจน์ที่ไม่ผ่านความเชื่อมั่นของการตัดแบบเปียก

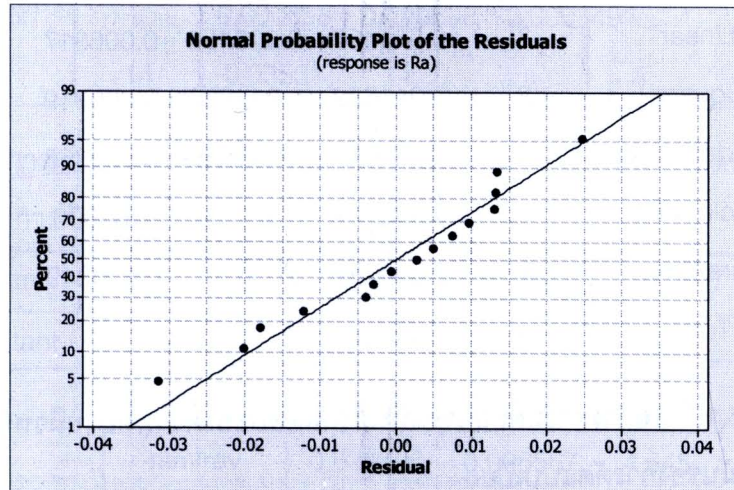
Term		Coef	SE Coef	T	P
Constant		0.09378	0.009086	10.322	0.000
S	rpm	-0.03276	0.006687	-4.899	0.001
F	mm/rev	0.03050	0.006687	4.561	0.001
D	mm	-0.02351	0.006687	-3.516	0.007
$S^2 S$	mm^2/rev	0.05195	0.009814	5.294	0.000
$D^2 D$	Mm^2	0.02450	0.009814	2.497	0.034
$S = 0.01891 \quad R-Sq = 90.9\% \quad R-Sq(adj) = 85.8\%$					

พบว่าสมการการทดถอยที่ได้ยังคงมีค่า R-Square และค่า R-Square Adj. สูง และมีค่า P-Value น้อยกว่า 0.05 และค่า P-value ของค่าการขาดความเหมาะสมของสมการ (Lack of fit) มี

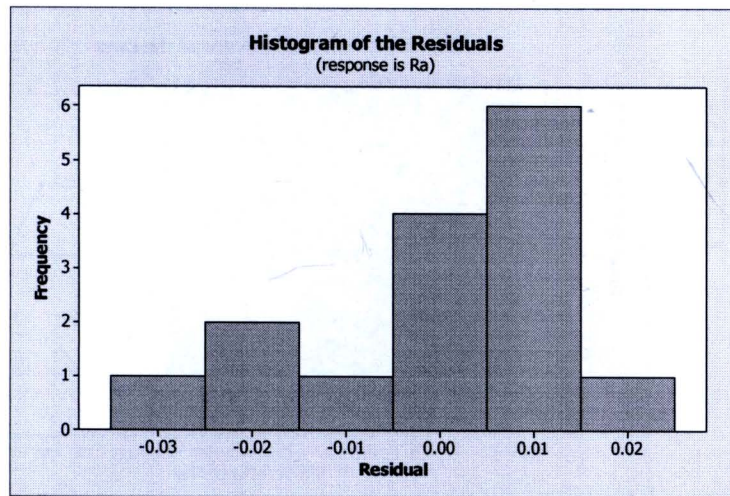
ค่า 0.575 ซึ่งมากกว่า 0.05 และมีค่าเพิ่มขึ้น หมายความว่าสมการนี้เหมาะสม ทำให้ได้สมการความสัมพันธ์ระหว่าง ความหยาบผิวเฉลี่ยต่อตัวแปรต้นต่าง ๆ คือ

$$Ra = 0.451150 - 2.40570E-04S + 3.05000F - 0.243040D + 5.19519E-08S^2 + 0.0980077D^2$$

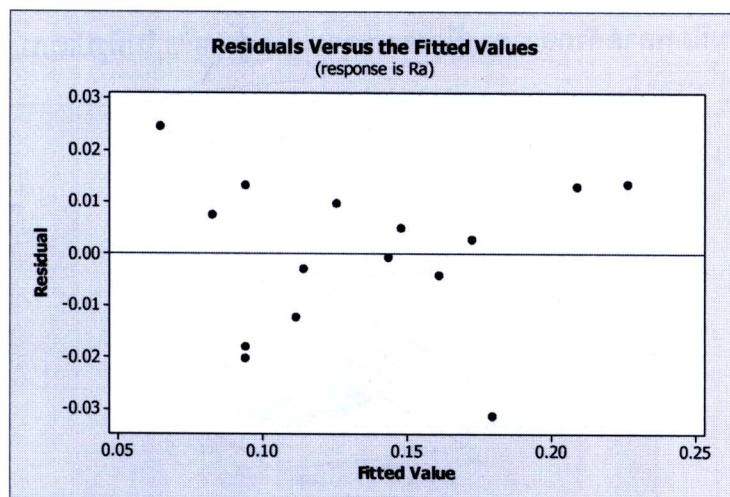
จากสมการความสัมพันธ์สามารถอธิบายได้ว่า อัตราป้อนตัด (F) และความลึกตัด (D) มีอิทธิพลต่อแรงที่เกิดขึ้นในแนวแกน x มาก ในส่วนของความเร็worob (S) ความเร็worob ลำดับสอง (S^2) และความลึกตัดลำดับสอง (D^2) มีอิทธิพลต่อแรงที่เกิดขึ้นในแนวแกน x น้อย ดังนั้นถ้าในการตัดมีอัตราป้อนตัดและความลึกตัดสูง จะส่งผลให้แรงในแนวแกน x มีค่ามาก เนื่องจากการตัดที่มีอัตราป้อนตัดและความลึกตัดสูงส่งผลให้แรงในการตัดแนวแกน x มีค่าสูง



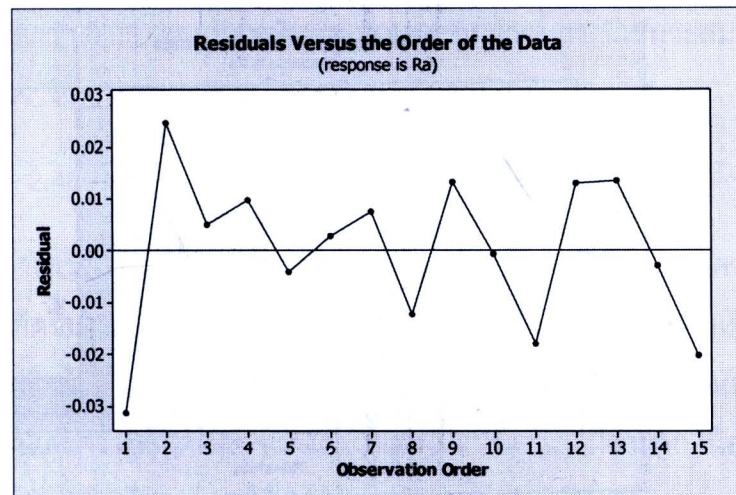
รูปที่ 3.21 ความน่าจะเป็นของค่าความผิดพลาดที่มีการกระจายแบบปกติ สำหรับความหยาบผิวเฉลี่ย(Ra) ของการตัดแบบเปียก



รูปที่ 3.22 ความน่าจะเป็นของค่าความผิดพลาดที่มีการกระจายแบบปกติ สำหรับความ helyab ผิว เนลลี่(Ra) ของการตัดแบบเปี้ยก

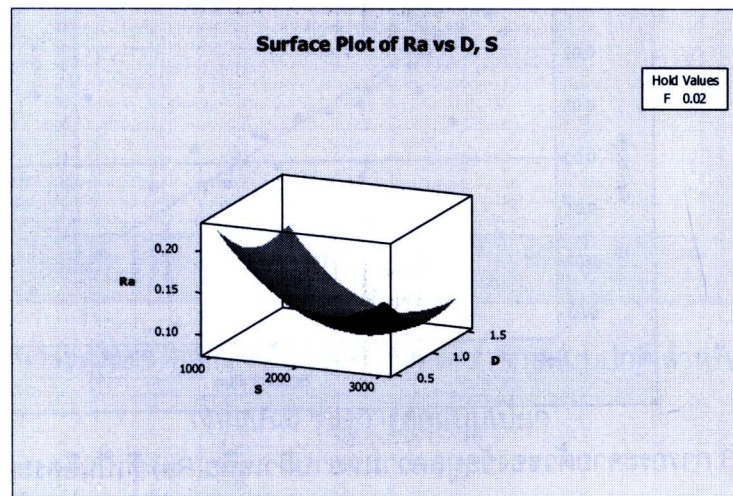


รูปที่ 3.23 การกระจายตัวของข้อมูลความ helyab ผิวเนลลี่(Ra) ที่เป็นอิสระต่อกัน ของการตัดแบบ เปี้ยก

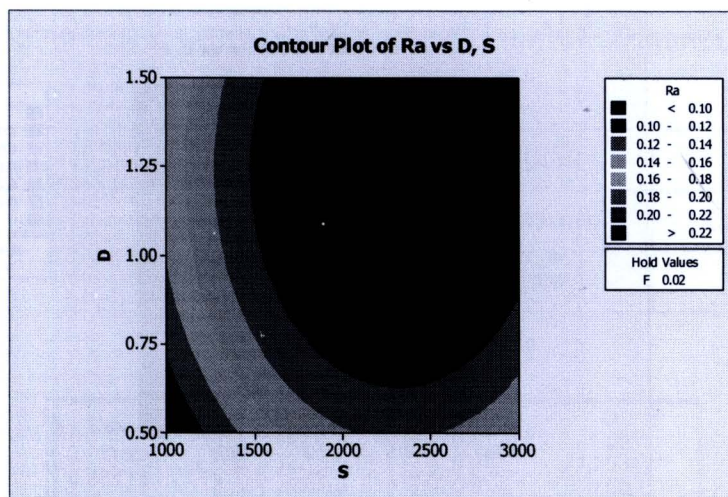


รูปที่ 3.24 ความสัมพันธ์ของค่าความผิดพลาดและลำดับของกราฟดลอง ของการตัดแบบเปียก

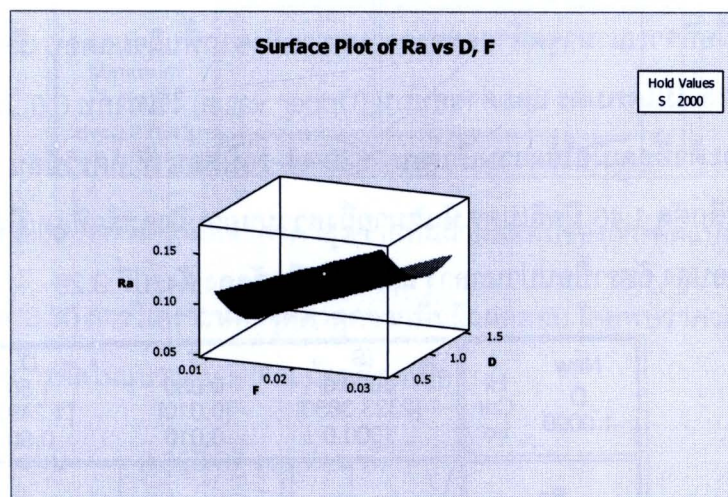
รูปที่ 3.23 และ 3.24 เป็นความสัมพันธ์ระหว่างค่าความผิดพลาด (Residual) ซึ่งสังเกตได้ว่าค่าความผิดพลาดดังกล่าวควรมีการกระจายแบบสุ่ม หรือ ไม่มีรูปแบบ



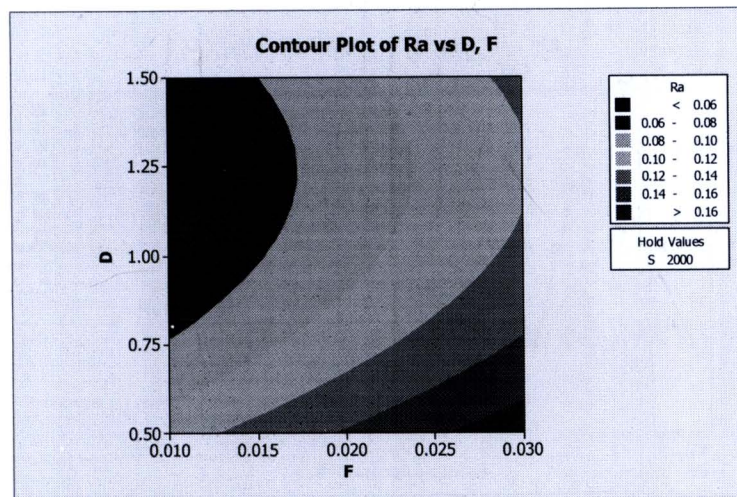
รูปที่ 3.25 ความสัมพันธ์ระหว่างความหยาบผิวเฉลี่ย (Ra) กับความลึกตัด (D) และความเร็วรอบ (S) ของการตัดแบบเปียก



รูปที่ 3.26 กราฟคอนทัวร์แสดงระดับของความหมายผิวเฉลี่ย (Ra) กับความลึกตัด (D) และความเร็วรอบ (S) ของการตัดแบบเบี้ยก

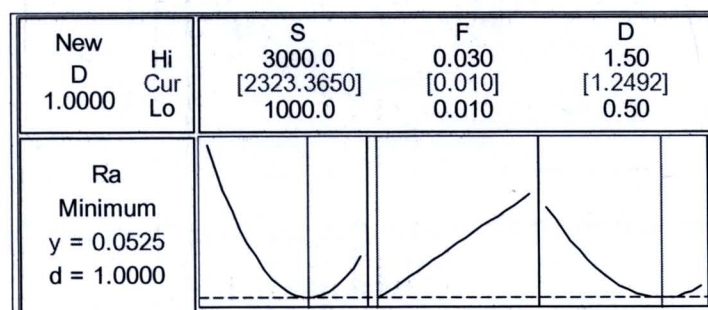


รูปที่ 3.27 ความสัมพันธ์ระหว่างความหมายผิวเฉลี่ย(Ra) กับความลึกตัด (D) และอัตราปั๊น (F) ของการตัดแบบเบี้ยก



รูปที่ 3.28 กราฟคอนทัวร์แสดงระดับของความหมายผิวเฉลี่ย (Ra) กับความลึกตื้น (D) และอัตราป้อน (F) ของการตัดแบบเปียก

เมื่อพิจารณาหาค่าต่ำสุดของความหมายจากพื้นผิวผลตอบ เมื่อกำหนดค่าเป้าหมายไว้เท่ากับ 0.15 ไมโครเมตร และค่าขอบบน (Upper value) ไว้เท่ากับ 0.9 ไมโครเมตร พบว่า ความหมายผิวจะต่ำที่สุดเมื่อใช้ความเร็วรอบ 2639.44 รอบต่อนาที อัตราป้อน 0.02 มิลลิเมตรต่อรอบ และความลึกตื้น 1.46 มิลลิเมตร นั้นหมายถึงความหมายผิวจะต่ำที่สุดเมื่อปัจจัยทั้งสามมีค่าดังนี้ ความเร็วรอบสูง อัตราป้อนปานกลาง และความลึกตื้นสูง ดังรูปที่ 3.29

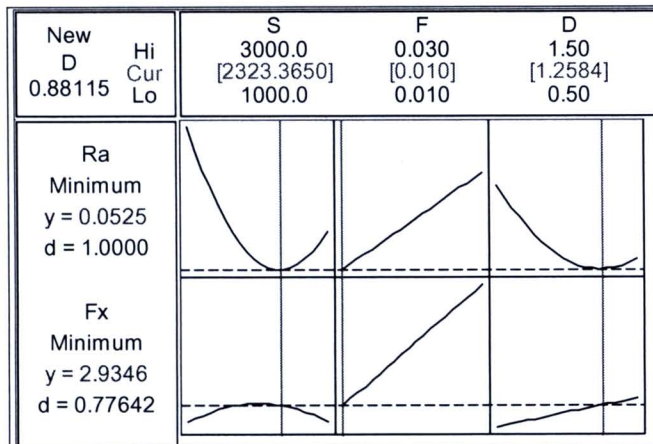


รูปที่ 3.29 การวิเคราะห์หาค่าต่ำสุดจากพื้นผิวผลตอบ เมื่อพิจารณา ความหมายผิวเฉลี่ย (Ra) และตัวแปรต้น ของการตัดแบบเปียก

ทำการวิเคราะห์หาค่าต่ำสุดจากพื้นผิวผลตอบอีกครั้งโดยมีปัจจัยเพิ่มเข้ามาคือ แรงในแนวแกน x โดยตั้งค่าเป้าหมาย (Target value) ไว้เท่ากับ 0.15 ไมโครเมตร และค่าขอบบน (Upper value) ไว้เท่ากับ 0.9 ไมโครเมตร สำหรับค่าผลตอบความหมายผิว และ ตั้งค่าเป้าหมายไว้เท่ากับ 0.9 นิวตันและค่าขอบนไว้เท่ากับ 10 นิวตัน สำหรับแรงตัดในแกน x (Fx)

ตารางที่ 3.11 ค่าเบ้าหมายและขอบนเพื่อใช้พิจารณาค่าต่ำสุดในพื้นผิวผลตอบ ของการตัดแบบเปียก

ผลตอบ	เบ้าหมาย	ค่าเบ้าหมาย	ขอบน
Ra	จุดต่ำที่สุด	0.15 มิลลิเมตร	0.9 มิลลิเมตร
Fx	จุดต่ำที่สุด	0.9 นิวตัน	10 นิวตัน



รูปที่ 3.30 การวิเคราะห์หาค่าต่ำสุดจากพื้นผิวผลตอบของการตัดแบบเปียก

จากรูปที่ 3.30 การวิเคราะห์หาจุดต่ำสุดจากพื้นผิวผลตอบ โดยพบว่าค่าความหยาบผิวต่ำที่สุดและเกิดแรงการตัดในแนวแกน x (Fx) น้อยที่สุดเมื่อ

$$\text{ความเร็วรอบ} = 2,323.37 \text{ รอบต่อนาที}$$

$$\text{oัตราป้อน} = 0.01 \text{ มิลลิเมตรต่อรอบ}$$

$$\text{ความลึกตัด} = 1.25 \text{ มิลลิเมตร}$$

หรือหมายถึง การตัดที่เงื่อนไขการตัด ความเร็วรอบและ อัตราป้อนตัดต่ำ และความลึกตัดสูง

3.5 สรุปสมการความสัมพันธ์ต่าง ๆ ของการตัดแบบเปียก

สมการความหยาบผิวเฉลี่ย (Ra)

$$Ra = 0.451150 - 2.40570E-04S + 3.05000F - 0.243040D + 5.19519E-08S^2 + 0.0980077D^2$$

สมการแรงแนวแกนป้อนตัด (Fx)

$$Fx = -0.483571 + 0.00243768S - 91.0000F - 0.432500D - 7.46607E-07SS + 0.0560000SF$$

$$+ 154.000FD$$